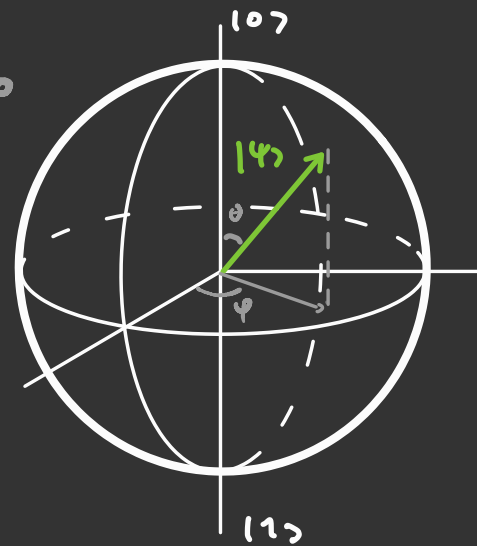
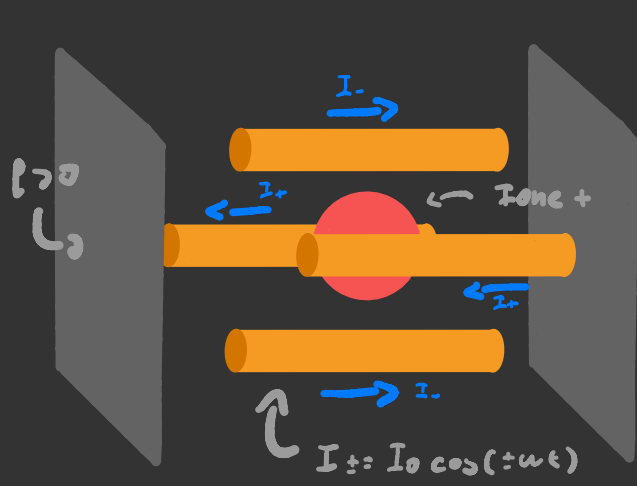
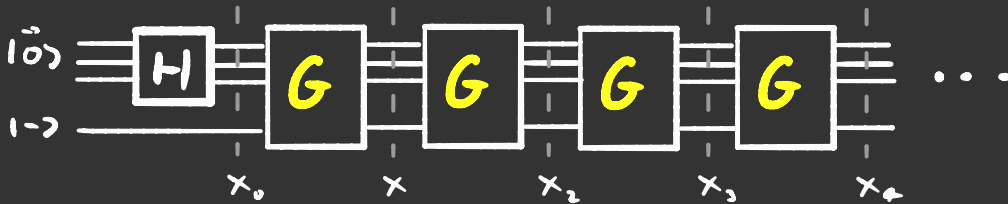
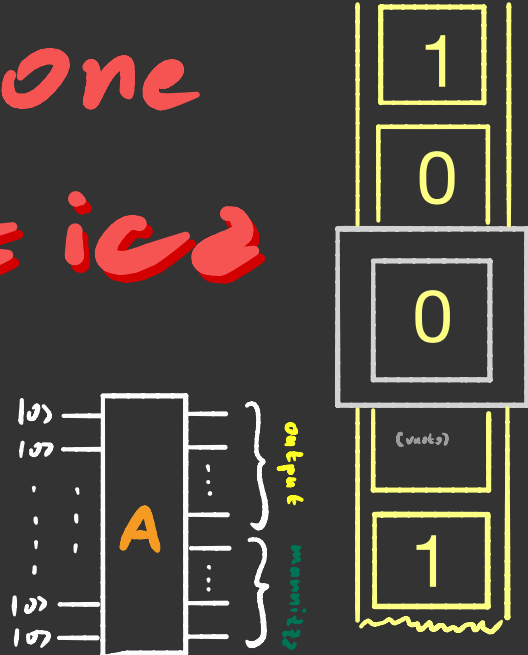
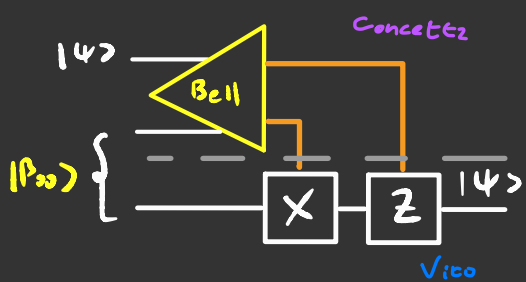


Computazione Quantistica



Q b↑t

In computazione classica un bit è una variabile che può valere 0 o 1, invece, in computazione quantistica un qbit è una funzione d'onda che appartiene allo spazio $\{|\text{0}\rangle, |\text{1}\rangle\}$.

Un generico qbit $|\psi\rangle$ può essere scritto così

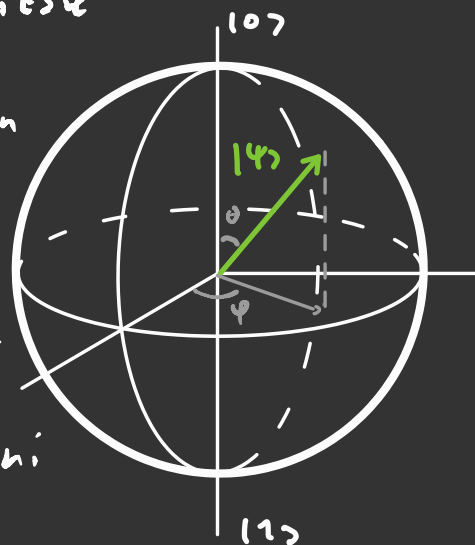
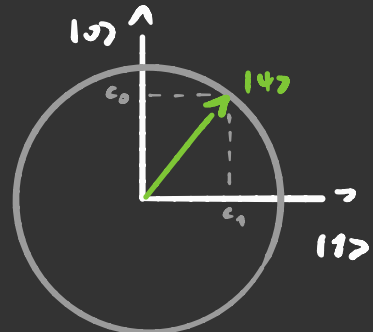
$$|\psi\rangle = c_0|\text{0}\rangle + c_1|\text{1}\rangle = \begin{pmatrix} c_0 \\ c_1 \end{pmatrix} \quad \text{con } |c_0|^2 + |c_1|^2 = 1$$

È possibile rappresentare $|\psi\rangle$ graficamente in due modi.

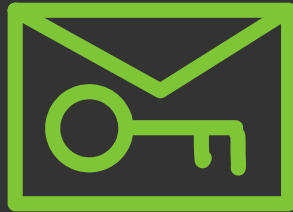
Il primo è di assegnare a ogni funzione d'onda un asse cartesiano, questo però si limita a rappresentare fedelmente solo funzioni d'onda che hanno $c_0, c_1 \in \mathbb{R}$. L'altro modo è quello di rappresentare sulla sfera di Bloch. Vista che se si moltiplica $|\psi\rangle \rightarrow e^{i\theta}|\psi\rangle$ non cambierà niente, io posso scrivere

$$|\psi\rangle = \cos\left(\frac{\theta}{2}\right)|\text{0}\rangle + e^{i\phi}\sin\left(\frac{\theta}{2}\right)|\text{1}\rangle$$

Questo mi permette di rappresentare per bene $|\psi\rangle$ e di rappresentare operazioni unitari come rotazioni della sfera.



Distribuzione di chiavi Quantistiche

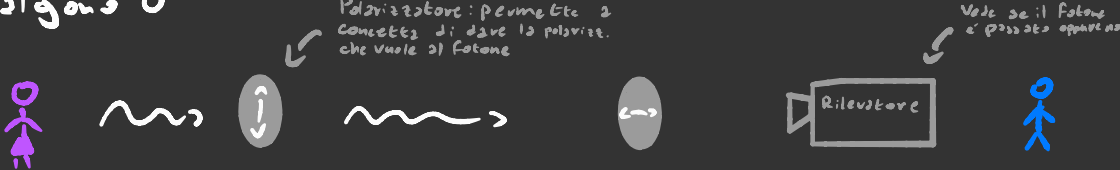


Per comunicare in modo sicuro i dati vanno crittografati e per decodificare c'è bisogno di una chiave.

Mandare una chiave però c'è un processo soggetto a vulnerabilità, ma con la meccanica quantistica inviare chiavi può diventare un processo sicuro.

Supponiamo che **Concetta** vuole inviare una chiave a **Vito** e come qbit usano dei Fotoni

Concetta invia a **Vito** alcune volte dei fotoni polarizzati così \uparrow o così \leftarrow oppure \downarrow o \rightarrow e ogni volta che ne invia uno si segnala come è polarizzato. I fotoni polarizzati \uparrow e \rightarrow valgono 1, quelli \leftarrow e \downarrow valgono 0.



Alla fine della trasmissione di fotoni **Vito** annuncia pubblicamente la sequenza di orientazione di filtri che ha usato ma non dice quello che misura il rilevatore. A questo punto **Concetta** dice pubblicamente quali basi per la misurazione endavano bene.

Polizzettore di Concetta

bit

	\uparrow \downarrow	\longleftrightarrow	\swarrow \uparrow	\uparrow \downarrow	\nwarrow
1	0	1	1	0	

Polizzettore di Vito

bit

	\longleftrightarrow	\downarrow \uparrow	\uparrow \downarrow	\uparrow \downarrow	\longleftrightarrow
1	1	1	1	1	0

Misure con
la stessa base

Misure con una
base diversa

In fine Vito manda indietro a Concetta i fotoni misurati
con la stessa base, e se cambieranno allora i due usciranno
qui bit come chiave.

Ma perché Vito e Concetta devono fare tutta questa maratona
per inviare una chiave? Per capirla dobbiamo vedere
che succede se una persona che ci intercetta la chiave.
cerca di intercettare la chiave.

Prendiamo come esempio il terzo bit della sequenza se
Alessia osserva il bit con un polarizzatore messo \uparrow
e, supponiamo, che gli cada 0 e poi lo invie così come l'ha
misurato, ma poi Vito lo misura \swarrow e gli torna 0.
Quindi si creano due discrepanze tra quello che Vito e
Concetta misurano nonostante usino la stessa base.

In totale queste discrepanze si verificheranno il 25%,
delle volte.

Concetta allora si rende conto che il messaggio è stato
intercettato e blocca tutto.

Macchine di Turing

Una macchina di Turing è una macchina che è composta da un nastro infinito con delle lettere di un alfabeto finito, una testa che è in grado di leggere e muoversi di un passo alla volta a destra o a sinistra.

Inoltre c'è un registro dove sta scritto lo stato e ad ogni stato c'è associata un'istruzione tipo così:

stato	1 7 1
se c'è scritto 0: mettici un 1; spostati a destra; vai allo stato 1 5; Altrimenti: vai allo stato 8 8;	

Gli stati fanno le veci del codice di un programma, il nastro fa le veci dell'input e dell'output e la testa è il processore.

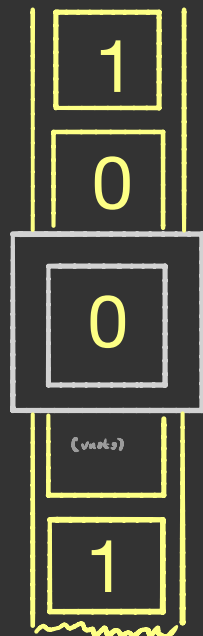
Una funzione calcolabile è una funzione che ha un algoritmo che prima o poi finisce. Adire il vero non esiste una definizione vera e propria di funzione calcolabile

L'ipotesi di Church-Turing dice che una funzione è calcolabile se e solo se è calcolabile da una macchina di Turing. (Non dimostrata)

Questo non ci dice nulla sull'efficienza delle macchine di Turing.

L'efficienza di una funzione è indicata con $O(f(n))$ dove n è il numero di bit dell'input.

Un algoritmo è detto efficiente se $\exists k$ t.c. $O(f(n)) < O(n^k)$



Nell' realtà si è notato che alcuni algoritmi sono più efficienti se la macchina di Turing è dotata di un componente che per ogni operazione sceglie un numero 2 o 3 (0 o 1), non è chiaro se questo è dovuto al fatto che a nessuno sia venuto in mente come fare la stessa funzione con la macchina di Turing non random.

L'ipotesi forte di Church-Turing dice che una macchina di Turing probabilistica può calcolare ogni funzione calcolabile efficientemente. (non dimostrata)

Tuttavia sembrerebbe che la meccanica classica non sembra in grado di simulare efficientemente la meccanica quantistica

Ipotesi forte di Church-Turing Quantistica

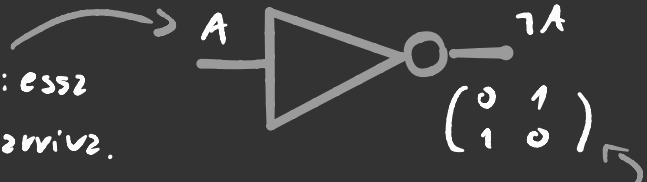
Una macchina di Turing quantistica può calcolare efficientemente ogni funzione calcolabile

Anche questa non è dimostrata, ma si basa sul fatto che con i computer quantistici è stato possibile risolvere funzioni che si pensava avessero fondamentalmente una complessità esp.

Calcolatori: 2 Porte logiche

I blocchi fondamentali di calcolatori che si usano oggi sono le porte logiche.

Partiamo dalle porte NOT: essa
inverte il bit che gli arriva.



È possibile scrivere l'operazione che fa in forma matriciale.
Questa porta è **Invertibile**, e questa è una cosa buona
in computazione quantistica.

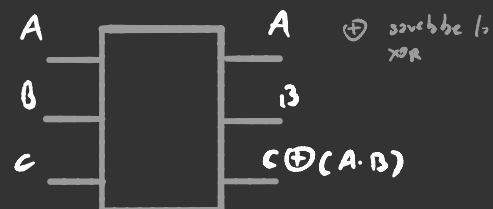
Viste che l'operatore di evoluzione temporale è unitario,
allora ogni porta logica quantistica deve esserlo.

Ad esempio la porta logica NAND, che è la più importante dell'elettronica digitale, non può esistere
in un computer quantistico così com'è visto che
è **non invertibile** (ha 2 input e un output).



È possibile creare una porta reversibile tale che
uno dei suoi output sia (anche) una porta NAND

La porta logica a destra è
un esempio di porta reversibile
che ha come uno degli output
un NAND e un AND a secondi
se C vale 1 o 0

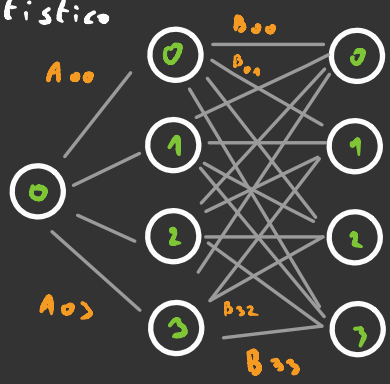
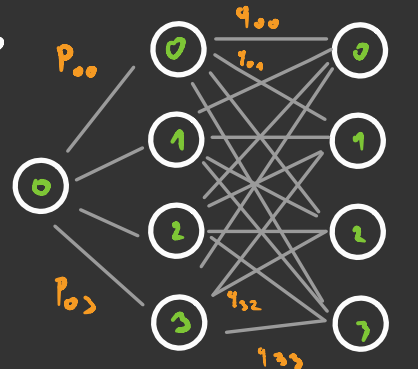


Differenze fra algoritmi Quantistici e Probabilistici

Prendiamo un algoritmo probabilistico che parte da uno stato 0 , esso avrà una certa probabilità di finire al primo passo dell'algoritmo 2 uno stato i eguale a 2 . Poi, a 21 secondo passo ogni stato i -esimo avrà una certa probabilità di finire in uno stato j eguale a $q_{ij}, 0$, quindi la probabilità di partire dallo stato iniziale 0 e finire in uno stato finale j è $\sum_i p_{i0} q_{ij}$. Essendo una somma di termini tutti positivi, l'unico modo per fare zero è che tutti i termini della somma siano nulli.

Se invece prendiamo un algoritmo quantistico dove A e B sono operatori unitari abbiamo che i termini, essendo in C possono interferire fra di loro, queste è una proprietà estremamente comoda che gli algoritmi probabilistici non hanno.

In ogni caso, le probabilità di partire dallo stato 0 e arrivare allo stato j è $|\sum_i A_{0i} B_{ij}|^2 \leq |\sum_i |A_{0i}|^2 |B_{ij}|^2| \leq$



Questo ultimo sommatoria è quello che succede se a ogni passo si effettua una misurazione ed è equivalente ad un algoritmo probabilistico.

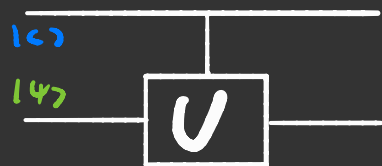
Porte Logiche controllate

Supponiamo di avere 2 qbit

$|1\psi\rangle$ e $|1\phi\rangle$ è un operatore Unitario

U . Il sistema funziona così

$$\begin{cases} \text{Se } |1\psi\rangle = |1\rangle, \text{ allora } |1\phi\rangle \rightarrow U|1\phi\rangle \text{ e } |1\rangle \rightarrow |1\rangle \\ \text{se } |1\psi\rangle = |0\rangle, \text{ allora } |1\phi\rangle \rightarrow |1\rangle \text{ e } |1\rangle \rightarrow |0\rangle \end{cases}$$



Quindi: $|1\psi\rangle$ rimane inviato e fa da "qbit di controllo," è possibile scrivere l'azione del sistema.

La porta complessiva che agisce sullo stato $|1\psi\rangle|1\phi\rangle$ è definita $c\cdot U$ che sta per control- U

Supponiamo che l'operatore U sia una porta NOT, esso ha 2 autovalori: $|1\pm\rangle = \frac{|0\rangle \pm |1\rangle}{\sqrt{2}}$ con autovalori ± 1

$$c\cdot U|0\rangle|\pm\rangle = |0\rangle|\pm\rangle \quad c\cdot U|1\rangle|\pm\rangle = |1\rangle \otimes (U|\pm\rangle) = \pm|1\rangle|\pm\rangle$$

Il fattore \pm però è un fattore che appartiene all'intera funzione d'onda, quindi è come se anche il bit di controllo viene effettuata l'operazione.

È possibile modificare il bit di controllo come in questo esempio.

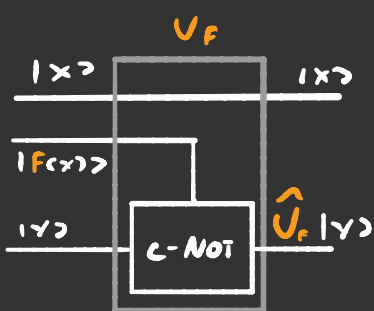
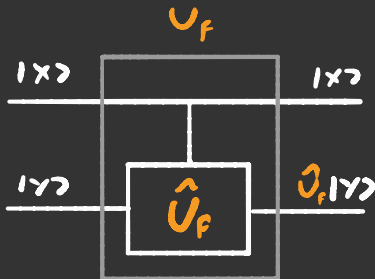
$$c\cdot U|1\psi\rangle|1\phi\rangle = c\cdot U \left[\frac{|0\rangle \pm |1\rangle}{\sqrt{2}} \right] |1\phi\rangle =$$

$$\frac{c\cdot U|0\rangle|1\phi\rangle}{\sqrt{2}} \pm \frac{c\cdot U|1\rangle|1\phi\rangle}{\sqrt{2}} = \frac{|0\rangle|1\phi\rangle}{\sqrt{2}} \mp \frac{|1\rangle|1\phi\rangle}{\sqrt{2}} = |1\phi\rangle|1\phi\rangle$$

In questo caso c'è solo il bit di controllo a esser cambiato

L'Algoritmo di Deutsch

Supponiamo di avere una funzione $F: \{0,1\} \rightarrow \{0,1\}$ Reversibile
 è possibile creare un operatore U_F tale che
 $U_F |x\rangle |y\rangle = |x\rangle |F(x) \oplus y\rangle$.



In questa operazione $y \rightarrow \gamma Y$ se $F(x)=1$
 gli eventi rimane inviato, quindi
 questa operazione è equivalente ad
 avere un circuito logico fatto come
 nella figura 2.

Lavorando con gli stati puri è semplice
 calcolare quanto vale $F(x)$, adesso vediamo
 che succede con gli stati misti:
 Se prendiamo $y=1\rightarrow$, che è un entanglato
 della porta NOT, $U_F |x\rangle |1\rightarrow\rangle = (-1)^{F(x)} |x\rangle |1\rightarrow\rangle$.

Seguendo il ragionamento della pagina di prima, se ad esempio

$$|x\rangle = |+\rangle = \frac{|0\rangle + |1\rangle}{\sqrt{2}} \quad U_F |+\rangle |1\rightarrow\rangle = \left[(-1)^{\frac{F(0)}{2}} |0\rangle + (-1)^{\frac{F(1)}{2}} |1\rangle \right] |1\rightarrow\rangle = \\ = \frac{(-1)^{\frac{F(0)}{2}}}{\sqrt{2}} \left[|0\rangle + (-1)^{\frac{F(1)-F(0)}{2}} |1\rangle \right] |1\rightarrow\rangle$$

Il fattore di $F(x)$, se
 si vuole effettuare una
 misura non serve a niente

$$U_F |+\rangle |1\rightarrow\rangle = \begin{cases} (-1)^{\frac{F(0)}{2}} |+\rangle |1\rightarrow\rangle & \text{se } F(0) = F(1) \\ (-1)^{\frac{F(0)}{2}} |-\rangle |1\rightarrow\rangle & \text{se } F(0) \neq F(1) \end{cases}$$

Così facendo con una singola operazione è possibile sapere
 se F sia pari o dispari

Questa cosa è importante perché in un calcolo classico ci tocca calcolare sia $F(0)$ che $F(1)$ per vedere se è pari

Insieme Universale di porte quantistiche

Nei calcolatori classici qualunque tipo di circuito può essere espresso in termini di alcune semplici porte logiche. Vogliamo sapere se nei calcolatori quantistici è possibile fare lo stesso.

Un insieme di porte logiche quantistiche è detto **Universale** se con esse è possibile approssimare arbitrariamente bene qualunque operatore unitario

C'è un teorema che non abbiamo dimostrato che dice che:

Le porte c-NOT con tutte le porte a singolo qbit formano un insieme Universale di porte quantistiche

Questo è un ottima cosa perché nelle reali queste porte logiche sono perfettamente realizzabili.

Da questo punto in poi cercheremo di fare circuiti quantistici che siano facilmente scrivibili in termini delle porte c-NOT e porte a singolo bit.

Una porta a singolo qbit che useremo spesso è quella di Hadamard H e la sua forma algebrica è così

$$H = \begin{bmatrix} 1 & 1 \\ 1 & -1 \end{bmatrix}$$

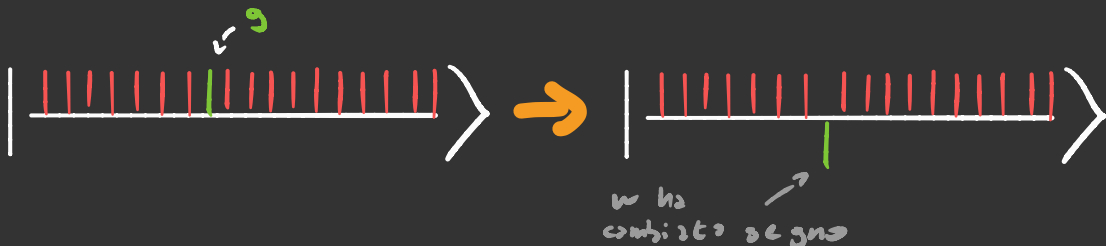
Algoritmo di Grover

Supponiamo di avere una funzione $F: \{0,1\}^n \rightarrow \{0,1\}$ e noi vogliamo trovare per quali valori la funzione F è uguale a 1. Classicamente il modo in cui si risolve il problema è avere 2^n tentativi, ma questo significa che $O(F) = O(2^n)$. Con l'algoritmo di Grover è possibile far sì che $O(F) = O(\sqrt{2^n})$. Prendiamo il solito operatore $U_F |x>|b> \rightarrow |x>|b \oplus F(x)>$, da ora in poi useremo $|b>=|0>$. E per semplificare sceglieremo una funzione che ha solo un bit 1 se è vero che $F(x)=1$. Parto con $|x> = H^{\otimes n}|0> = \frac{1}{\sqrt{2^n}}|0> + \sqrt{\frac{2^n-1}{2^n}}|1>$

$$\frac{1}{\sqrt{2^n}}|0> + \sqrt{\frac{2^n-1}{2^n}}|1> \xrightarrow{\left\{ \begin{array}{c} U_F \\ \hline |0> \end{array} \right\}} \frac{1}{\sqrt{2^n}}|0>|1> + \sqrt{\frac{2^n-1}{2^n}}|1>|0>$$

Così facendo se misurando il bit di controllo esce $|b>=|1>$ allora misurando $|x>$ esce $|x>=|w>$. C'è però il problema che la maggior parte delle volte $|b>=|0>$.

Se come input ci mettiamo $|b>=|1>$ l'operatore U_F invierte il segno della componente di $|x>$ lungo $|w>$ e lascia invariata la componente lungo $|0>$, esso si può rappresentare così:



Se si concatena questo con un operatore che inverte rispetto alla media si amplifica la componente lungo $|1\rangle$



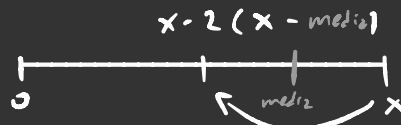
Così facendo abbiamo amplificato la componente di lungo $|1\rangle$, per amplificarla ancora di più basta ripetere l'operazione.

Prima di andare avanti dobbiamo vedere come scrivere in forma operatoriale questa riflessione rispetto alla media.

Per calcolare la media basta proiettare $|x\rangle$ su $|1\rangle = H^{\otimes n}|1\rangle$,

Guardando l'immagine a destra si:

capisce che l'operatore di inversione
rispetto alla media è

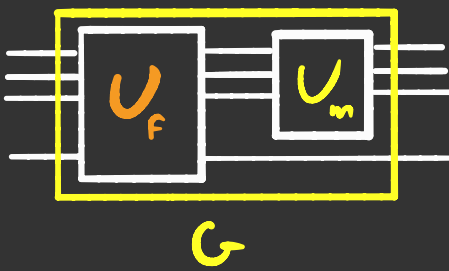


$$U_m = I - 2(I - H^{\otimes n})|1\rangle\langle 1| = 2H^{\otimes n}|1\rangle\langle 1| - I$$

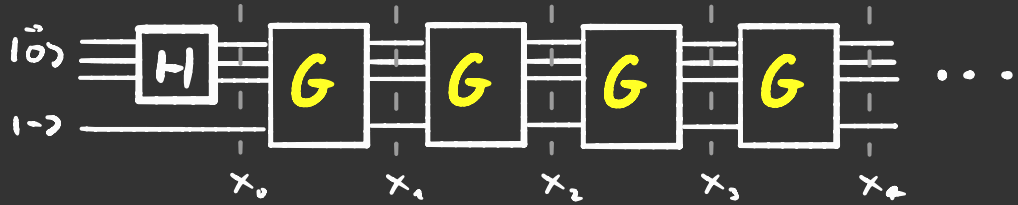
$H^{\otimes n}$ rispetto alla base di Hadamard è $|1\rangle$, quindi
l'operatore di inversione rispetto alla media è scrivibile come

$$U_m = H^{\otimes n} (2|1\rangle\langle 1| - I) H^{\otimes n}$$

Combinando U_F e U_m come a destra
un operatore chiamato iteratore
di Grover G che più si itera
più si amplifica il fattore
moltiplicatore di $|1\rangle$.



OK, tutto bello, ma quante volte devo applicare G ?

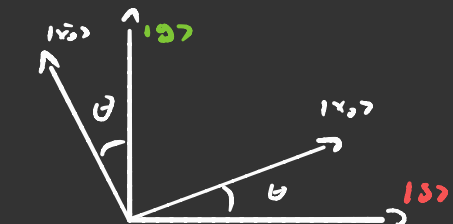


Per farlo vediamo quante valgono i vari $|X_i\rangle$, come già detto prima

$$|x_0\rangle = \frac{1}{\sqrt{2}} |y\rangle + \sqrt{\frac{2^n+1}{2^n}} |s\rangle \equiv \sin \theta |y\rangle + \cos \theta |s\rangle$$

$$\text{definisco } |\bar{x}_0\rangle \equiv \cos \theta |y\rangle - \sin \theta |s\rangle$$

quindi:
$$\begin{cases} |y\rangle = \sin \theta |x_0\rangle + \cos \theta |\bar{x}_0\rangle \\ |s\rangle = \cos \theta |x_0\rangle - \sin \theta |\bar{x}_0\rangle \end{cases}$$



$$U_f |x_0\rangle = -\sin \theta |s\rangle + \cos(\theta) |\bar{x}_0\rangle =$$

$$= -\sin^2 \theta |x_0\rangle - \sin \theta \cos \theta |\bar{x}_0\rangle + \cos^2 \theta |x_0\rangle - \sin \theta \cos \theta |\bar{x}_0\rangle$$

$$= \cos(2\theta) |x_0\rangle - \sin(2\theta) |\bar{x}_0\rangle$$

$$U_m U_f |x_0\rangle = U_m [\cos(2\theta) |x_0\rangle - \sin(2\theta) |\bar{x}_0\rangle] =$$

$$= \cos(2\theta) |x_0\rangle + \sin(2\theta) |\bar{x}_0\rangle =$$

$$= \sin(3\theta) |y\rangle + \cos(3\theta) |s\rangle$$

Questo è un vettore ruotato di 2θ rispetto alla base $|x_0\rangle, |s\rangle$. Quindi rispetto alla base $|y\rangle, |s\rangle$ è un vettore ruotato di 3θ .

Se si vuole calcolare

$$(U_m U_f)^n |x_0\rangle = |x_n\rangle = \sin [(2n+1)\theta] |y\rangle + \cos [(2n+1)\theta] |s\rangle$$

Esiste una dimostrazione grafica, ma per ora non ho voglia di disegnare

Programmazione Superdense

Supponiamo che Concetti vuole inviare due bit a Vito inviandogli solo un qbit, come deve fare?

Definiamo la base di Bell così

$$|\beta_{00}\rangle = \frac{1}{\sqrt{2}}(|00\rangle + |11\rangle) \quad |\beta_{01}\rangle = \frac{1}{\sqrt{2}}(|01\rangle + |10\rangle)$$

$$|\beta_{10}\rangle = \frac{1}{\sqrt{2}}(|00\rangle - |11\rangle) \quad |\beta_{11}\rangle = \frac{1}{\sqrt{2}}(|01\rangle - |10\rangle)$$

L'operatore che permette di passare dalla base computazionale a quella canonica è questo

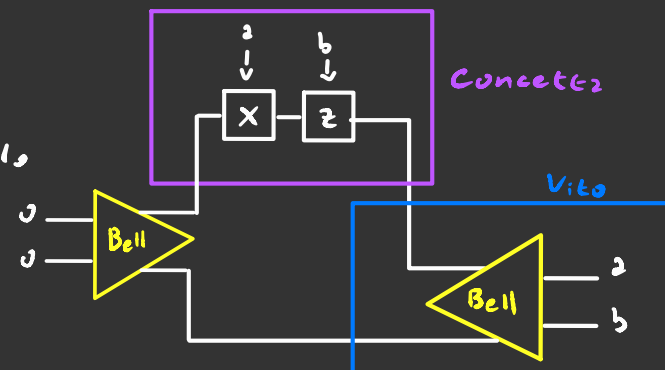


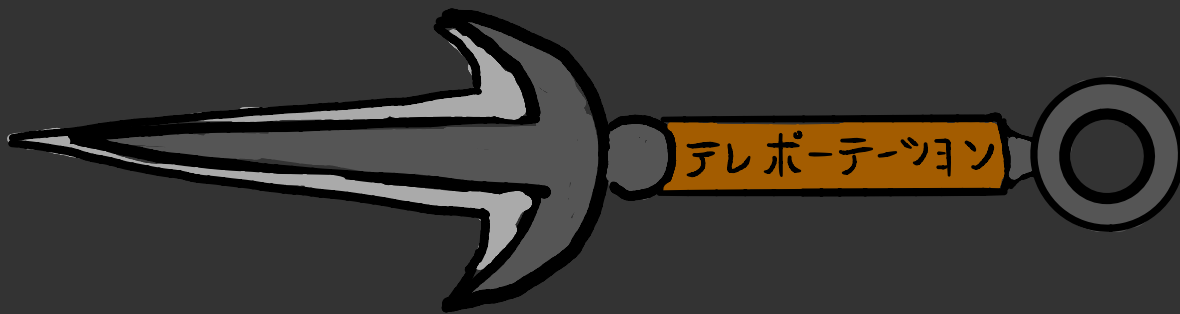
La proprietà cruciale che viene usata in questo algoritmo è come si comporta lo stato di $|\beta_{00}\rangle$ rispetto a questi operatori:

$$\begin{aligned} I \otimes I |\beta_{00}\rangle &= |\beta_{00}\rangle & X \otimes I |\beta_{00}\rangle &= |\beta_{01}\rangle & x = \begin{pmatrix} 0 \\ 1 \end{pmatrix} & z = \begin{pmatrix} 1 \\ 0 \end{pmatrix} \\ Z \otimes I |\beta_{00}\rangle &= |\beta_{10}\rangle & Z \cdot X \otimes I |\beta_{00}\rangle &= |\beta_{11}\rangle & & \end{aligned}$$

La cosa importante da notare qui è che questi operatori agiscono solo sul primo qbit della base computazionale.

Quindi se si organizzza un circuito come quello in figura è possibile inviare due bit con un singolo qbit

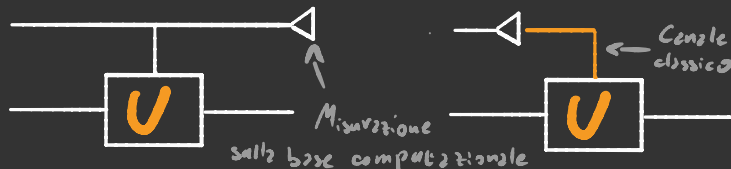




Supponiamo di voler inviare un qbit attraverso linee di trasmissione classiche.

Per capire questo algoritmo bisogna prima sapere 2 cose:

Questi 2 circuiti sono equivalenti.



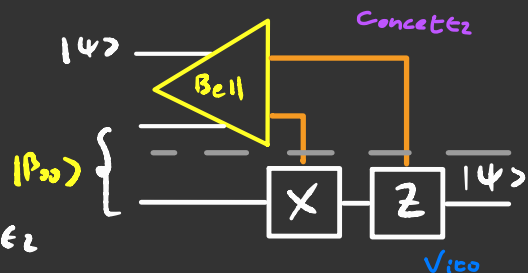
$|1\rangle \rightarrow |P_{00}\rangle$

\downarrow

$$\frac{1}{2} [|P_{00}\rangle |1\rangle + |P_{01}\rangle (X|1\rangle) + |P_{10}\rangle (Z|1\rangle) + |P_{11}\rangle (ZX|1\rangle)]$$

Se si costruisce un circuito come qui 2 dove c'è possibile inviare un qbit generico $|1\rangle$ con due canali classici ammessi che concetto e visto si siano smarriti precedentemente $|P_{00}\rangle$.

Per capire bene come funziona bisogna guardare le prime componenti della funzione d'onda nella parte bassa dell'equazione già data. L'operatore di Bell si occupa di prendere $|P_{10}\rangle \rightarrow |1\rangle$ e poi misurarla facendo collassare la funzione d'onda in $|1\rangle (X|Z|) |1\rangle$.



Trasformata di Fourier

Supponiamo di avere uno stato di n qbit così

$$|\Psi_n(w)\rangle = \frac{1}{\sqrt{2^n}} \sum_{y=0}^{2^n-1} e^{2\pi i w y} |y\rangle \quad \text{con } w \in [0,1)$$

e vogliamo scrivere un algoritmo che ci dica quanto vale w .

Intanto scriviamo w come un numero decimale binario

$$w = 0.x_1 x_2 x_3 \dots = x_1 \cdot 2^1 + x_2 \cdot 2^2 + x_3 \cdot 2^3 + \dots \quad x_i \in \{0,1\}$$

Vorremmo vedere se $|\Psi_n(w)\rangle$ è separabile, per fare ciò
la proviamo a moltiplicare per una funzione d'onda e
vediamo che succede

$$\begin{aligned} |\Theta\rangle |\Psi_n(w)\rangle &= \frac{1}{\sqrt{2}} (|0\rangle + e^{i\theta} |1\rangle) \frac{1}{\sqrt{2^n}} \sum_{y=0}^{2^n-1} e^{2\pi i w y} |y\rangle = \\ &= \frac{1}{\sqrt{2^{n+1}}} \left[\sum_{y=0}^{2^n-1} e^{2\pi i w y} |0\rangle |Y\rangle + \sum_{y=0}^{2^n-1} e^{2\pi i w y + i\theta} |1\rangle |Y\rangle \right] = \end{aligned}$$

(Qui Y possiede essere
un numero 2^n bit
ma ha 2^{n+1} bit)

$$= \frac{1}{\sqrt{2^n}} \left[\sum_{y=0}^{2^n-1} e^{2\pi i w y} |1Y\rangle + \sum_{y=0}^{2^n-1} e^{2\pi i w y + i\theta} |2^n Y\rangle \right] =$$

$$= \frac{1}{\sqrt{2^n}} \left[\sum_{y=0}^{2^n-1} e^{2\pi i w y} |1Y\rangle + \sum_{y=2^n}^{2^{n+1}-1} e^{2\pi i w (y-2^n) + i\theta} |1Y\rangle \right] =$$

$$= \frac{1}{\sqrt{2^n}} \left[\sum_{y=0}^{2^n-1} e^{2\pi i w y} |1Y\rangle + \sum_{y=2^n}^{2^{n+1}-1} e^{2\pi i w (y-2^n) + i\theta} |1Y\rangle \right] =$$

Per $\theta = 2^{n+1}\pi w$ si ottiene qualcosa di interessante

$$|2^{n+1}\pi w\rangle |\Psi_n(w)\rangle = \frac{1}{\sqrt{2^n}} \left[\sum_{y=0}^{2^n-1} e^{2\pi i w y} |1Y\rangle + \sum_{y=2^n}^{2^{n+1}-1} e^{2\pi i w y} |1Y\rangle \right] =$$

$$= \frac{1}{\sqrt{2^{n+1}}} \sum_{y=0}^{2^{n+1}-1} e^{2\pi i w y} |1Y\rangle = |\Psi_{n+1}(w)\rangle \quad \text{Quindi}$$

La sommatoria finisce con
 $n=1$ perché significa che
resta solo 1 qbit

$$|\Psi_n(w)\rangle = \frac{|0\rangle + e^{i2^n\pi w} |1\rangle}{\sqrt{2}} \otimes \frac{|0\rangle + e^{i2^{n+1}\pi w} |1\rangle}{\sqrt{2}} \otimes \dots \otimes \frac{|0\rangle + e^{i2^{n+k}\pi w} |1\rangle}{\sqrt{2}}$$

Adezzo che sappiamo qual'è lo stato di ogni qbit di $|14_n(w)\rangle$ cerchiamo di capire come ricavarci w .

Supponiamo che sia w che $|14\rangle$ siano funzioni d'onda a 1 qbit, quindi $w = 0, x$ con $x \in \{0,1\}$ e

$$|14_n(w)\rangle = \frac{|0\rangle + e^{\frac{i\pi w}{2}}|1\rangle}{\sqrt{2}} = \begin{cases} |+\rangle & \text{se } w=0,0 \\ |-> & \text{se } w=0,1 \end{cases}$$

Quindi per capire quanto $F_2 w$ in questo caso ristretto bratti $F_2 w = |2w\rangle = H|14_n(w)\rangle$. E' la porta di Hadamard

Che succede se w non è esattamente 0,1 o 0,0? In quel caso lo stato $|2w\rangle$ diventa una combinazione lineare degli stati $|0\rangle$ e $|1\rangle$.

Adezzo prendiamo $w = 0, x_1 x_2$ e

$$|14_2(w)\rangle = \frac{|0\rangle + e^{\frac{i\pi w}{2}}|1\rangle}{\sqrt{2}} \otimes \frac{|0\rangle + e^{\frac{i\pi w}{2}}|1\rangle}{\sqrt{2}},$$

$$= \frac{|0\rangle + e^{\frac{i\pi w_{x_1, x_2}}{2}}|1\rangle}{\sqrt{2}} \otimes \frac{|0\rangle + e^{\frac{i\pi w_{0, x_2}}{2}}|1\rangle}{\sqrt{2}} = \frac{|0\rangle + e^{\frac{i\pi w_{0, x_2}}{2}}|1\rangle}{\sqrt{2}} \otimes \frac{|0\rangle + e^{\frac{i\pi w_{0, x_2}}{2}}|1\rangle}{\sqrt{2}} =$$

$$R_n = \begin{vmatrix} 1 & 0 \\ 0 & e^{\frac{i\pi w_{0, x_2}}{2}} \end{vmatrix} \quad \text{Dai secondi qbit si puo' ricavare } x_2$$

con 12 porte di Hadamard. Una volta fatto ciò si moltiplica il primo qbit per R_2^{-1} se $x_2 = 1$, quindi il circuito

x_1 rappresentativo dell'operazione è questo qbit a sinistra.

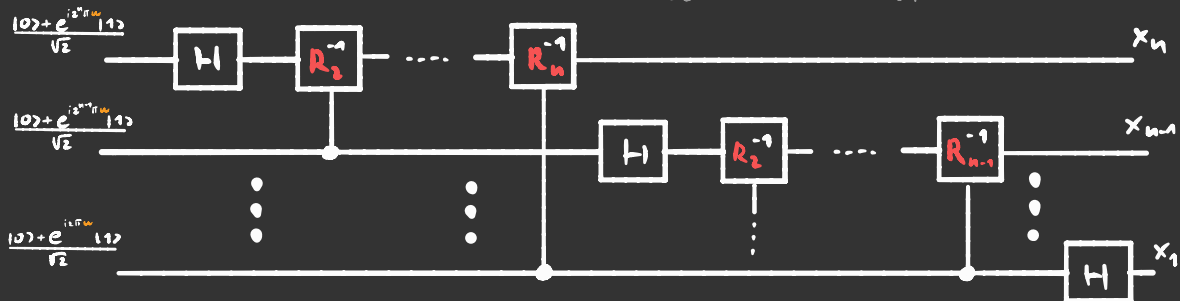
Visto che R_n è una matrice diagonale si puo' scambiare il bit di controllo con l'altro



Nel caso con n qubit l'algoritmo diventa così per

$$w = 0, X_1, X_2 \dots X_n$$

Per avere l'antitrasformata dobbiamo leggere il circuito al contrario.



Adezzo vediamo come usarla per calcolare la parte digitale di uno stesso quantizing. Fatto così

$$|r, b\rangle = \frac{1}{\sqrt{m}} \sum_{z=0}^{m-1} |zr+b\rangle \quad r, v, b \in \mathbb{N}$$

No: ancora non sappiamo bene cosa faccia la trasformata applicata ai vettori della base computazionale, ma l'anti-trasformata sì.

Qui sotto in grigio ci sono i conti noiosi per calcolarla.

$$\begin{aligned} QFT^{-1}|r, b\rangle &= \frac{1}{\sqrt{m}} \sum_{z=0}^{m-1} QFT^{-1}|zr+b\rangle = \frac{1}{\sqrt{m}} \sum_{z=0}^{m-1} \sum_{y=0}^{2^n-1} \exp\left[i\pi\left(\frac{zr+b}{2^n}\right)y\right] |yz\rangle = \frac{1}{\sqrt{m}} \sum_{y=0}^{2^n-1} \sum_{z=0}^{m-1} \exp\left[i\pi\left(\frac{zr+b}{2^n}\right)y\right] |yz\rangle \\ &= \frac{1}{\sqrt{m}} \sum_{y=0}^{2^n-1} \exp\left(\frac{i\pi b}{2^n}y\right) |yz\rangle \sum_{z=0}^{m-1} \exp\left(\frac{i\pi ry}{2^n}\right) \end{aligned}$$

La serie geometrica ha la proprietà che $\sum_{z=0}^{m-1} \lambda^z = \frac{1-\lambda^m}{1-\lambda}$

$$\frac{1-\exp\left(\frac{i\pi ry(m-1)}{2^n}\right)}{1-\exp\left(\frac{i\pi ry}{2^n}\right)} = \frac{\exp\left(\frac{i\pi ry(m-1)}{2^n}\right)}{\exp\left(\frac{i\pi ry}{2^n}\right)} \cdot \frac{\sin\left(\frac{\pi ry(m-1)}{2^n}\right)}{\sin\left(\frac{\pi ry}{2^n}\right)} = e^{i\pi ry} \frac{\sin\left(\frac{\pi ry(m-1)}{2^n}\right)}{\sin\left(\frac{\pi ry}{2^n}\right)}$$

I valori che dominano sono quelli per cui il denominatore è 0. Questo avviene se $K = 2^n/r \in \mathbb{N}$ e $y = jK$ con $j \in \mathbb{N}$

$$\frac{\sin\left(\frac{\pi y(m-1)}{K}\right)}{\sin\left(\frac{\pi y}{K}\right)} \approx (m-1)\delta_{y, jK} \Rightarrow \frac{1}{\sqrt{m}} \sum_{y=0}^{2^n-1} \exp\left(\frac{i\pi b}{2^n}y\right) e^{i\pi y \frac{m-1}{K}} \delta_{y, jK} |yz\rangle =$$

$$\frac{1}{\sqrt{m}} \sum_{k=0}^{m-1} \exp\left(\frac{-2\pi b j K}{m}\right) e^{i\pi j K} |jK\rangle - \frac{1}{\sqrt{m}} \sum_{k=0}^{m-1} \exp\left(i\pi j 2b\right) |jK\rangle = \frac{1}{\sqrt{m}} \sum_{k=0}^{m-1} \exp\left(i\pi j \frac{2b}{m}\right) |jK\rangle .$$

Il risultato viene un po' diverso da quello che c'è nel libro. In teoria dovrebbe venire

$$QFT^{-1}|r, b\rangle = \frac{1}{\sqrt{r}} \sum_{k=0}^{r-1} \exp\left(-2\pi i \frac{b}{r} k\right) |mk\rangle$$

A prima vista sembrerebbe che non si fa nulla di utile, dopotutto alla fine c'è uscita fuori una superposizione di tante funzioni d'onda.

Se misuriamo QFT($|r,b\rangle$) ci salterà fuori un multiplo della funzione d'onda, ma se ripetiamo l'operazione più volte possiamo trovare il massimo comune divisore, e quello è la Frequenza di $|r,b\rangle$. L'algoritmo per trovare il massimo comune divisore è molto efficiente e si chiama algoritmo di Euclide.
L'applicazione più famosa della Trasformata di Fourier quantistica è

L'Algoritmo di Shor

Prima di leggere qui le spiegazioni ti consiglio di andarti a vedere questo video youtu.be/lvTqbM5Dq4Q

Sia N il numero che vogliamo scomporre $N = a \cdot b$, dove a e b sono numeri primi.

Se riuscissimo a trovare un numero $M = a \cdot c$ che ha un divisore in comune con N il problema sarebbe risolto trovando il massimo comune divisore.

Un teorema della matematica ci viene a salvare, esso dice che:

Siano g e N due numeri senza fattori comuni allora esistono due numeri interi p ed m tali che

$$g^p = m \cdot N + 1 \rightarrow \underbrace{(g^p + 1)}_{\text{multiplo di } a} \underbrace{(g^p - 1)}_{\text{multiplo di } b} = m \cdot N$$

A dire il vero uno dei due coefficienti potrebbe essere un multiplo di N , o potrebbe capitare che p sia dispari. Tuttavia 3/8 delle volte che si sceglie g questi problemi non sussistono.

Adesso però dobbiamo trovare il modo di stimare p .

Sia ψ la funzione d'onda che rappresenta p

$$(x, \psi) \rightarrow (x, g(x)) \rightarrow (x, \text{rect}(g(x)))$$

Dovrò finire di scriverlo, in ogni caso il video dovrebbe essere più che sufficiente.

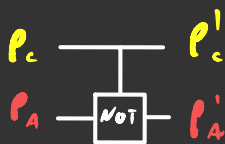
Mettere i piedi a Terra

Finezz abbiamo trattato il funzionamento di calcolatori quantistici ideali, quindi adesso vediamo quali limitazioni ci impone il mondo reale.

I 7 criterii necessari per costruire un calcolatore quantistico sono detti: **Criterii di Di Vincenzo** e dicono che un calcolatore quantistico deve avere

- Un sistema fisico di qbit scalabile
 - Lunghi tempi di decoerenza
 - L'abilità di inizializzare i qbit
 - Un insieme universale di porte logiche
 - L'abilità di misurare i qbit
 - L'abilità di convertire qbit stazionari (elettroni) in qbit volanti e viceversa (fotoni)
 - L'abilità di trasmettere qbit volanti
-] Parte difficile
] Necessario per la realizzazione

Il principale fattore limitante è l'interruzione con l'ambiente esterno, proviamo a modellarlo partendo dal caso più semplice: sia il calcolatore che l'ambiente sono singole qbit e modellizziamo l'interruzione con una porta C-NOT (Si: sarebbe potuto scegliere una porta Entangling qualunque)



Per semplificare ulteriormente supponiamo che l'ambiente si trovi nello stato **|0>**. Avremmo potuto scegliere un qualunque altro stato ma il ragionamento sarebbe stato identico

Viste che all'inizio ρ_c rappresenta uno stato puro abbiamo che $\rho_c = |\psi\rangle\langle\psi| = \begin{vmatrix} |\alpha|^2 & \alpha^*\beta \\ \alpha\beta^* & |\beta|^2 \end{vmatrix}$

$$\text{La matrice di densità totale } \rho_T = \rho_c \otimes \rho_A =$$

$$= |\alpha|^2 |00\rangle\langle 00| + \alpha^*\beta |00\rangle\langle 10| + \alpha\beta^* |10\rangle\langle 00| + |\beta|^2 |10\rangle\langle 10|$$

Quando si fissa passare attraverso le porte C-NOT si ha che $|00\rangle \rightarrow |00\rangle$, $|10\rangle \rightarrow |11\rangle$, $|10\rangle \rightarrow |11\rangle$ e $|00\rangle \rightarrow |00\rangle$, quindi

$$\rho_T \rightarrow \text{C-NOT} \cdot \rho_T \cdot \text{C-NOT} =$$

$$= |\alpha|^2 |00\rangle\langle 00| + \alpha^*\beta |00\rangle\langle 11| + \alpha\beta^* |11\rangle\langle 00| + |\beta|^2 |11\rangle\langle 11|$$

Noi però non possiamo misurare niente dell'ambiente, quindi effettivamente possiamo lavorare solo con ρ_c , però dopo aver passato dalle porte logiche ρ_T non è più separabile quindi ci tocca fare le tracce sugli indici di ρ_A .

Dopo aver fatto l'operazione ci risulta che

$$\rho'_c = \text{Tr}_A(\rho_T) = |\alpha|^2 |0\rangle\langle 0| + |\beta|^2 |1\rangle\langle 1|$$

In generale questo non è più uno stato puro, quindi
Si creerà una indeterminazione sullo stato, tipo quella di Heisenberg che
è sulla variabilità

Questo tipo di fenomeno è detto **Decadenzia**

Correzione errori

Nei calcolatori classici calcola un bit puoi cambiare valore, per evitare questo problema si triplica il numero di bit

$$\text{output senza errori} = 100101 \rightarrow 111\ 000\ 000\ 111\ 000\ 111$$

$$\text{output con errori} = 000111 \rightarrow 101\ 000\ 000\ 011\ 000\ 111$$

Sbagliato $\xrightarrow{\quad}$ Giusto $\rightarrow 111\ 000\ 000\ 111\ 000\ 111$

Se non si fosse espiato dalla Schemina dopo che l'operazione viene calcolata si fa un voto di maggioranza.

C'è comunque le possibilità che 2 numeri saltino, ma calcoliamoci le probabilità.

Sia p la probabilità che un bit generico cambi, allora le probabilità che una sequenza di 3 bit sbagli e $p^3 + 3p^2(1-p) = 3p^2 - 2p^3$.
In calcolatori classici p è molto piccolo, quindi p^3 è molto piccolissimo.

Adesso vediamo il caso Quantistico

L'idea è di usare 21 posti dei qbit $|0\rangle$ e $|1\rangle$ i qbit $|000\rangle$ e $|111\rangle$.

Quello che ci serve per fare lo stesso cosa con i qbit è:

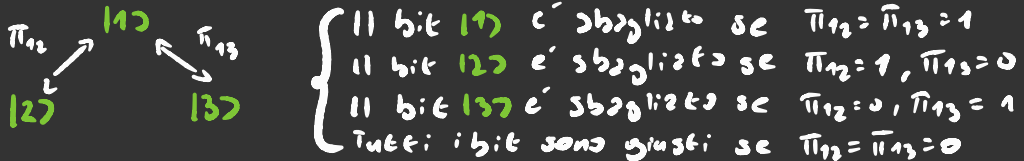
- Un modo per mandare $\alpha|0\rangle + \beta|1\rangle$ in $\alpha|000\rangle + \beta|111\rangle$
- Un modo per fare il voto di maggioranza

Il primo punto è facile $\alpha|0\rangle + \beta|1\rangle$

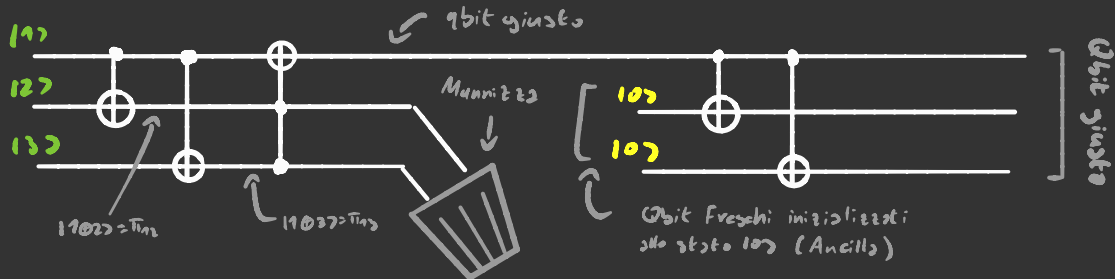
da fare, basta fare il circuito come qui sotto



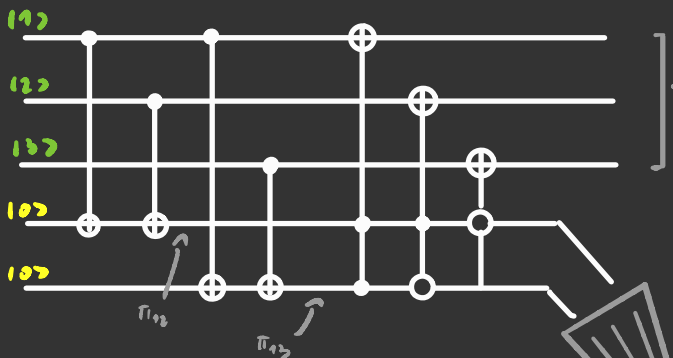
Fare il voto di maggioranza invece c'è un po' più complicato. Primo di tutto bisogna individuare il qbit sbagliato, sia π_{ij} : la parità fra lo stato i e lo stato j che vale 0 se i due hanno lo stesso parità, altrimenti: 1, quindi $\pi_{ij} = i \oplus j$. Possiamo determinare il bit sbagliato così



Quindi possiamo dire che il bit corretto è 110 se $\pi_{12} \cdot \pi_{13} = 0$, altrimenti è $X(110)$. Una volta ottenuto il qbit giusto si ri-triplica



Questo procedimento funziona bene solo se si suppone che esso non sia soggetto ad errori, per ovviare a ciò bisogna usare questo circuito



Non mi metto a spiegare questo circuito che ci vuole troppo tempo, però se hai capito il circuito di sopra non dovrebbe essere difficile capirlo

Informazione

Intuitivamente l'informazione è qualcosa di semplice da definire, ad esempio il numero di bit salvati in un calcolatore o il numero di parole in un libro.

Poniamo in Fisica una si può chiedere quant'è l'informazione in un sistema quantistico.

Per trovare una definizione sonetta dell'informazione bisogna partire dall'opposto: l'**Entropia**.

In un sistema termodynamico l'entropia è definita

$$S = k_B \ln \Omega \quad \begin{matrix} \text{Costante di Boltzmann} \\ \text{che impone} = 1 \end{matrix} \quad \begin{matrix} \text{Numero di stati} \\ \text{quantistici possibili} \end{matrix}$$

Solo che in termodynamica tutti gli stati sono equiprobabili.

È possibile ridefinire l'entropia così

$$S = \sum_{\text{stati}} p_i \ln \frac{1}{p_i} \quad \begin{matrix} \text{probabilità di stare} \\ \text{nello stato i-esimo} \end{matrix}$$

Se supponiamo che gli stati sono equiprobabili ci ritroviamo la definizione termodynamica, e se abbiamo uno stato j "certo" $p_j = 1$, allora $S=0$.

Notiamo che questa definizione di entropia si può usare per una generica distribuzione di probabilità

$$S(X) = \sum_x p_x \ln \frac{1}{p_x} \quad \text{dove} \quad p_x = \text{Prob}(X=x)$$

Ad esempio se X è la moneta $x \in \{\text{testa}, \text{croce}\}$, quindi $S(\text{Moneta}) = -p_t \ln p_t - p_c \ln p_c$

L'entropia congiunta di 2 variabili casuali X e Y è

$$S(X,Y) = - \sum_{x,y} p_{x,y} \ln p_{x,y}$$

Se le due distribuzioni sono indipendenti abbiamo che

$$\begin{aligned} S(X,Y) &= - \sum_{x,y} p_x p_y \ln(p_x p_y) = \cancel{- \sum_x^{\neq 1} p_x \sum_y^{\neq 1} p_y \ln p_y} - \cancel{\sum_y^{\neq 1} p_y \sum_x^{\neq 1} p_x \ln p_x} = \\ &= S(X) + S(Y) \end{aligned}$$

Se invece X e Y non sono indipendenti uso Bayes

$$\begin{aligned} S(X,Y) &= - \sum_{x,y} p_{x|y} p_y (\ln p_{x|y} + \ln p_y) = \quad p_y = \sum_x p_{x|y} \\ &= \underbrace{\sum_y p_y \sum_x p_{x|y} \ln p_{x|y}}_{\downarrow} + \cancel{\sum_x p_{x|y} \sum_y p_y \ln p_y} \\ &= S(X|Y) + S(Y) \end{aligned}$$

Bene, ma che senso ha in pratica $S(X|Y)$?

Prendiamo la seguente distribuzione
di probabilità di X e Y , se conosciamo Y
allora possiamo dire con esattezza il valore
di X , quindi intuitivamente $S(X|Y)=0$.

Inoltre sia $S(X,Y)$ che $S(Y)$ hanno 2 caselli equi probabili,
quindi sono entrambi uguali a $-\ln 2$. Se fai i conti c'è
esattamente quello che dice.

	$X=0$	$X=1$
$Y=0$	0	$\frac{1}{2}$
$Y=1$	$\frac{1}{2}$	0

Saperne il valore di Y ci dà più informazione sul valore che X può ottenere, quindi definisce l'**Informazione**

$$I(X, Y) = S(X) - S(X|Y)$$

Che equivale a dire quanta entropia ha in meno se conosco Y . Da notare che l'informazione è qualcosa di Relativo
Inoltre l'informazione è simmetrica

$$I(X, Y) = S(X) + S(Y) - S(X, Y) = I(Y, X)$$

Un'altra quantità utile da avere c'è la Divergenza di Kullback-Leibler, siano P_i e Q_i due distribuzioni di

$$D_{KL}(P||Q) = \sum_i P_i \ln\left(\frac{P_i}{Q_i}\right)$$

Essa c'è un modo per stimare in termini entropici quanto sono diverse due distribuzioni di probabilità

Studiate e aggiungete proprietà fisiche

Matrice di densità

Se vogliamo cambiare base l'entropia va espressa in termini della matrice di densità

$$S = -\text{tr}(\hat{\rho} \ln \hat{\rho}) \quad \hat{\rho} = \sum_{\text{stato}} p_i |i\rangle \langle i|$$

Se si ci mette nella base diagonale si ricorda la definizione di prima, e visto che la traccia è un invariante sotto cambiamento di base l'entropia così è ben definita.

In meccanica quantistica però c'è una sottigliezza da tenere in conto.

Supponiamo di avere un qbit così $|+\rangle = \frac{|1\rangle + |0\rangle}{\sqrt{2}}$

Se lo misuro rispetto alla base $\{|1\rangle, |0\rangle\}$ metà delle volte P_1 $|1\rangle$ e metà P_0 . Volendo possiamo dire che

$$P_1 = P_0 = \frac{1}{2}$$

Questo significa che per l'osservatore che sta nella base $\{|1\rangle, |0\rangle\}$ il sistema si comporta come un sistema a entropia $\ln 2$

$$S = -P_1 \ln P_1 - P_0 \ln P_0 = \ln 2$$

Però in teoria lo stato è $|+\rangle$, quindi $S=0$. Dove sta l'errore?

Questo paradosso si risolve dicendo che l'entropia dipende dalla base, quindi sotto un certo punto di vista, si può dire che l'entropia è soggettiva.

Si può riaggiornare la definizione di entropia così:

Sia B una base dello spazio di Hilbert con cui lavoriamo, allora

$$S(B) = - \sum_{\psi \in B} \langle \psi | \hat{\rho} | \psi \rangle \ln \langle \psi | \hat{\rho} | \psi \rangle$$

Questi entropie si chiamano **Entropie di Shannon**

Non sono sicuro che sia questo il nome

Primo lavoro visto come calcolare l'entropia di delle distribuzioni di probabilità, adesso sarebbe interessante vedere come fare per degli operatori quantistici.

Sia \hat{X} l'operatore di cui vogliamo calcolarci l'entropia, allora

$$P(X=x) = p_x = |\langle X | \hat{\rho} | \psi \rangle|^2 \quad \text{dove} \quad \hat{X} |x\rangle = x |x\rangle$$

Se invece abbiamo una matrice di densità

Ho supposto che $\hat{\rho}$ sia non degenero, \rightarrow
 elettrimenti bisogna sommare su tutti gli autostati con lo stesso autovalore

$$p_x = \sum_{\substack{\text{Somma sugli} \\ \text{bloch bloch}}} \langle x | \hat{\rho} | x \rangle$$

E l'entropia di \hat{X} diventa

$$S(\hat{X}) = - \sum_{x \in \text{sp}(\hat{X})} p_x \ln p_x$$

$\text{Sp}(\hat{X})$ è lo spettro, \rightarrow
 quindi gli autovalori

Una cosa interessante da notare è che l'entropia di Shannon è uguale all'entropia dell'operatore che effettua la misurazione. Quindi ci sono questi due modi di interpretare l'entropia quantistica.

Come costruire un Calcolatore Quantistico

Attenzione! Le tecnologie discuse in questa parte sono ancora agli albori, quindi c'è più che probabile che tra qualche anno saranno obsolete.

Per iniziare bisogna scegliere un sistema con livelli energetici ben definiti:

- **Un Atomo** L'atomo ha tanti livelli energetici, la cosa migliore è sceglierne 2 ben disegnati dagli altri livelli
- **Uno Ione** Ha le stesse proprietà dell'atomo, ma c'è anche carico elettricamente, e questo può tornare utile
- **Una Molecola** Ci sono tanti modi per usare delle molecole come qbit
- **Un Elettrone** Lo spin dell'elettrone fornisce un sistema a 2 livelli
- **Un Fotone** Si può sfruttare la polarizzazione del fotone, è ottimo per trasmettere qbit nelle fibre ottiche, ma non interagisce con altri fotoni, quindi è difficile fargli fare entanglement
- **Un Superconduttore** Si usano gli stati di corrente come qbit
- **Quantum dot** Sono buche di potenziale create artificialmente
- **Eccezioni** Ci sono un sacco di altre idee strambe in sviluppo

Al momento della stesura di questa pagina il calcolatore quantistico con più qbit ne ha circa 50 ed è basato su una tecnologia a superconduttore

NMR

Nuclear Magnetic Resonance

Cominciamo a studiare un sistema con un qbit caratterizzato da un determinato spin e momento magnetico.

Per manipolare il qbit si usi un apparecchio fatto come nell'immagine qui a destra. I solenoidi di sopra e di sotto servono a creare un campo magnetico $B_0 \hat{z}$.

Il solenoide centrale ruota a una velocità angolare $\omega \hat{z}$ e crea un campo magnetico $B_1 (\hat{x} \cos \omega t + \hat{y} \sin \omega t)$. Il dipolo magnetico ha spin \vec{s} e se ne sta fermo al centro dell'apparecchio. Siano ω_0 e ω_1 le frequenze di precessione del dipolo nei campi \vec{B}_0 e \vec{B}_1 . Allora l'Hamiltoniana del sistema è

$$H = -\frac{\hbar}{2} [w_0 G_z + w_1 (G_x \cos \omega t + G_y \sin \omega t)] =$$

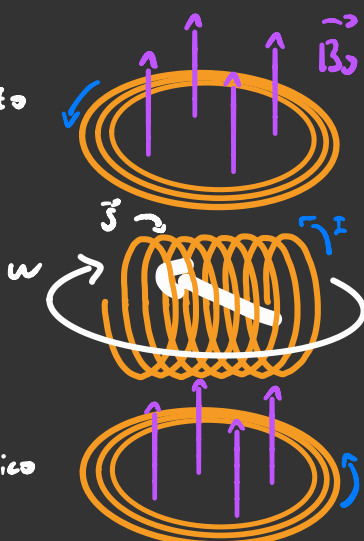
$$= -\frac{\hbar}{2} [w_0 G_z + w_1 (G_x e^{i \omega t} + G_y e^{-i \omega t})] = -\frac{\hbar}{2} \begin{vmatrix} w_0 & w_1 e^{i \omega t} \\ w_1 e^{-i \omega t} & -w_0 \end{vmatrix}$$

Per studiare il sistema quantistico ci mettiamo in un "sistema di riferimento rotante" solidale col solenoide centrale $|\Psi\rangle = \exp(-i \frac{\omega_0 t}{2}) |\Psi(t)\rangle$

Alternativamente si può usare questa Hamiltoniana

$$\tilde{H} = -\frac{\hbar}{2} [(w_0 - \omega) G_z + w_1 G_x]$$

Attenzione, questo Ham. non determina i livelli energetici perché ci troviamo nel sistema di riferimento rotante. I livelli energetici sono gli autovalori di H



Grazie a \hat{H} se $w = \omega_0$ possiamo ruotare la componente della spin lungo l'asse \hat{z} con l'operatore $-\frac{\hbar}{2}w_0\sigma_x$ così possiamo fare tutte le operazioni che voglio a singolo qbit.

Adesso riveliamo di cosa è fatto il nostro qbit.

Come qbit usiamo la molecola di Cloroformio (come esempio)

$\text{Cl}-\text{C}-\text{H}$ Più precisamente si tengono in considerazione

$\text{Cl}-\text{C}-\text{H}$ gli spin degli atomi di Carbonio e di Idrogeno.

Amando momenti magnetici diversi essi hanno

frequenze di risonanza diverse ω_0^c e ω_0^h .

Visto che abbiamo due atomi ci mettiamo due campi magnetici ruotanti assieme quindi il campo magnetico ruotante sarà

$$\mathbf{B}_0 = B_0^c (\hat{x} \cos \omega t + \hat{y} \sin \omega t) + B_0^h (\hat{x} \cos \omega' t + \hat{y} \sin \omega' t)$$

Le due frequenze sono scelte in modo tale che siano vicine alle frequenze di risonanza del carbonio e dell'idrogeno, quindi possiamo far finta che ogni atomo sia soggetto ad un solo campo magnetico.

L'Hamiltoniana del sistema è

$$H^{cu} = -\frac{\hbar}{2} [\omega_0^c \sigma_z^c + \omega_0^h (\sigma_+^c e^{i\omega t} + \sigma_-^c e^{-i\omega t})] -$$

$$-\frac{\hbar}{2} [\omega_0^h \sigma_z^h + \omega_0^h (\sigma_+^h e^{i\omega t} + \sigma_-^h e^{-i\omega t})] +$$

+ $\hbar J \sigma_z^c \sigma_z^h$ Hamiltoniana d'interazione mediata dagli elettroni di legame, J è una costante

Nel sistema di riferimento ruotante l'Hamiltoniana diventa

$$\tilde{H} = \frac{\hbar}{2} [(w^c w_0^c) \sigma_z^c - w_0^c \sigma_x^c + (w^h w_0^h) \sigma_z^h - w_0^h \sigma_x^h] + \hbar J \sigma_z^c \sigma_z^h$$

Ci siamo messi in due sistemi di riferimento ruotanti diversi

Da queste Hamiltoniane si vede che c'è praticamente impossibile controllare indipendentemente i 2 qbit.

Bisogna considerare che:

- $J \ll \omega_1^H, \omega_1^C$ il che significa che gli effetti dovuti all'interazione sono lenti
- $|\delta^C| = |\omega^C - \omega_0^C| \ll \omega_1^C$
- $|\delta^H| = |\omega^H - \omega_0^H| \ll \omega_1^H$

$$\tilde{H} = \frac{\hbar}{2} \left[\delta^C \sigma_z^C - \omega_1^C \sigma_x^C + \delta^H \sigma_z^H - \omega_1^H \sigma_x^H \right] + \hbar J \sigma_z^C \sigma_z^H$$

Con queste Hamiltoniane si possono manipolare i singoli qbit agendo sull'intensità e la frequenza dei campi magnetici rotanti.

L'azione di interazione dell'Hamiltoniana è un generatore infinitesimo della porta C-NOT.

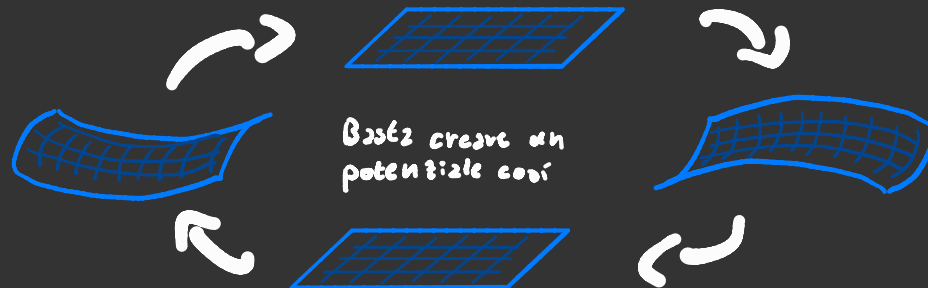
Visto che grazie alle operazioni a singolo qbit e alla porta CNOT c'è possibile fare qualunque tipo di operazione a 2 qbit.

Ioni intrappolati:



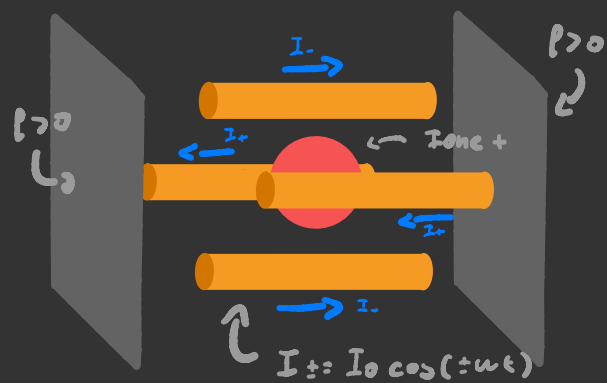
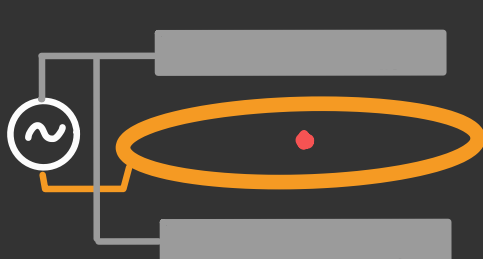
Come abbiamo visto l'NMR fa abbastanza schifo, quindi cerchiamo delle alternative, un'idea sarebbe quella di usare diversi ioni sospesi nel vuoto.

Visto che $D \cdot E = 0$ non è possibile intrappolare particelle caricate con un campo eletrostatico, ma con un campo elettrico alternato qualcosa si può fare...



Una particella in un potenziale oscillante in questo modo tende ad oscillare attorno a un punto.

Gli oggetti che fanno dei campi così si chiamano trappole di Paul. Ti consiglio di cercarle su youtube che si trovano delle animazioni. Ecco alcuni esempi di trappole di Paul:



Una volta che gli Ioni sono intrappolati possiamo supporre che si trovino in un potenziale equivalente

$$V(x, y, z) = \frac{M}{2} (w_x^2 x^2 + w_y^2 y^2 + w_z^2 z^2)$$

In pratica però c'è spesso una delle omeghe che è più piccola, $w_x \ll w_y, w_z$ quindi possiamo dire che le particelle lungo l'asse y, z è bloccata e può stare fondamentale, mentre lungo l'asse x si può muovere un pochino, quindi: $V(x) = M w_x^2 x^2 / 2$. Noi però vogliamo usare lo spin come qbit, quindi se aggiungiamo un campo magnetico $B_0 = B_0 \hat{z}$ a cui corrisponde una Frequenza di resonanza dello spin ω_s ,

$$H_0 = \frac{\hbar^2}{2m} + \frac{M w_x^2 x^2}{2} - \hbar \frac{\omega_s}{2} S_z = \hbar w_s z^2 - \hbar \frac{\omega_s}{2} S_z$$

Noi per poter usare un sistema quantistico regolato da questo Hamiltonian dobbiamo assicurarsi che $K_B T \ll \hbar w_s, \hbar \omega_s$.

Per raggiungere queste temperature il metodo migliore è il

Raffreddamento Doppler

Supponiamo di avere un sistema a 2 livelli con un gap di energie uguale a $\hbar \omega_s$ immerso in una radiazione isotropa con frequenza ω_r . Se l'atomo si muove contro la radiazione, per effetto doppler l'atomo si muove con una Frequenza aumentata, e se la velocità è sufficiente assorbe il fotone, e poi lo emette in una direzione a caso, questo diminuisce la velocità delle particelle e quindi abbassa la temperatura.



Manipolazione dei qbit con : LASER

Ora che abbiamo il nostro bel qbit pronto, vediamo come manipolarlo.

Per farlo si usa un campo eletromagnetico oscillante

$$\vec{B}_z(\vec{x}, t) = B_z \cos(Kx - \omega t) \hat{z} \quad \text{con } \vec{K} = K \hat{x}$$

E l'Hamiltioniana d'intervento $H_I = -q \cdot \vec{B}_z$

$$H_I = -\hbar \omega_z \sigma_z \cos(Kx - \omega t) = -\frac{\hbar \omega_z}{2} (b_+ + b_-) [e^{i\omega t} + e^{-i\omega t}]$$

Se consideriamo il nostro atomo in $x=0$ possiamo dire che

$$H_I = -\frac{\hbar \omega_z}{2} (b_+ + b_-) [(1 - iKx) e^{i\omega t} + (1 + iKx) e^{-i\omega t}]$$

che possiamo dividere in

$$H_1 = -\frac{\hbar \omega_z}{2} (b_+ + b_-) [e^{i\omega t} + e^{-i\omega t}] \quad H_2 = i \frac{\hbar \omega_z}{2} (b_+ + b_-) Kx [e^{i\omega t} - e^{-i\omega t}]$$

Possiamo scrivere la seconda Ham. in termini di $2 \epsilon z^+$ sostituendo

$$x = (2 + 2^+) \sqrt{\frac{2k}{M\omega_x}} \quad \text{e se definisco } \eta = K \sqrt{\frac{2k}{M\omega_x}} \quad \text{abbiamo che}$$

$$H_2 = \frac{i \hbar \omega_z \eta}{2} (b_+ + b_-) (2 + 2^+) [e^{i\omega t} - e^{-i\omega t}]$$

Se ci mettiamo nel sistema di riferimento ruotante

attorno z con una frequenza ω .

$$b_x \rightarrow b_x \cos(\omega_t, t) + b_y \sin(\omega_t, t) = b_+ e^{i\omega t} + b_- e^{-i\omega t}$$

per vedere come trasformano gli operatori di creazione e distruzione sotto rotazioni di un angolo θ bisogna escludersi:

$$R(\theta) \circ R^\dagger(\theta) \in R(\theta) \circ R^\dagger(\theta) = [R(\theta) \circ R^\dagger(\theta)]^+$$

$$\text{dove } R(\theta) = e^{\frac{i}{\hbar} (\vec{r} \cdot \vec{p})_z \theta}$$

$$\frac{i}{\hbar}(\text{rap})_z = \frac{i}{\hbar} \times p_y - y p_x \quad \text{Visto che} \quad x = (2 + 2^+) \sqrt{\frac{2E}{M_{\text{tot}}}} \in p_x = -i(2 - 2^+) \sqrt{\frac{m}{2M_{\text{tot}}}} \quad \text{abbiamo che}$$

$$\frac{i}{\hbar}(\text{rap})_z = (2 + 2^+) (2y - 2^+) 2\sqrt{\frac{m}{2M_{\text{tot}}}} - (2x - 2^+) (2y + 2^+) 2\sqrt{\frac{m}{2M_{\text{tot}}}}$$

$$[2x, \frac{i}{\hbar}(\text{rap})_z] = (2y - 2^+) 12\sqrt{\frac{m}{M_{\text{tot}}}} - 2(2y + 2^+) \sqrt{\frac{m}{2M_{\text{tot}}}}$$

Ricordiamoci che ci mettiamo nel sistema di riferimento rotante perché così ci leviamo di piedi la sconvenienza della precessione lungo l'asse z.

Adesso scriviamo la prima Hamiltoniana nel sistema rotante

$$\tilde{H}_1 = -\frac{\hbar w_z}{\varphi} (6 + e^{i\omega t} + 6 \cdot e^{-i\omega t}) [e^{i\omega t} + e^{-i\omega t}] \approx -\frac{\hbar w_z}{\varphi} [6 + e^{i(w_0 - \omega)t} + 6 \cdot e^{-i(w_0 - \omega)t}]$$

All'ultimo ho applicato l'approssimazione d'onda rotante.

Questa Hamiltoniana ci permette di effettuare rotazioni dello spin con l'asse di rotazione nel piano x-y, i livelli energetici relativi al potenziale armonico restano invariati.

Adesso vediamo com'è e cosa fa \tilde{H}_2

$$\tilde{H}_2 = -\frac{\hbar w_z}{\varphi} (6 + e^{i\omega t} + 6 \cdot e^{-i\omega t}) (z^+ e^{i\omega t} + z^- e^{-i\omega t}) [e^{i\omega t} + e^{-i\omega t}] \approx$$

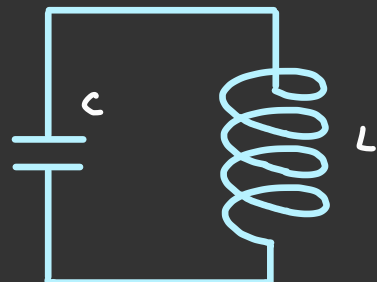
\approx Da Finire

Qbit a Superconduttore

I qbit esaminati fin ora sono molto sensibili a perturbazioni esterne, i superconduttori invece sono molto meglio di questo punto di vista. Inoltre c'è possibile fabbricare un circuito a superconduttore per far sì che vada in contro alle nostre esigenze.

Prima di tutto dobbiamo costruire un circuito che abbia dei livelli energetici. Il circuito qui a destra è un oscillatore LC. Facendo un po' di conti si ottiene l'Hamiltonianz

Flusso che passa attraverso il circuito \rightarrow
 $H = \frac{\Phi^2}{2L} + \frac{q^2}{2C}$ Cavità



Questo Hamiltonianz è equivalente a quella di un oscillatore armonico con frequenz $\omega_0 = \sqrt{LC}$.

In questo caso lo stato della corrente è quantistico e funge da qbit.

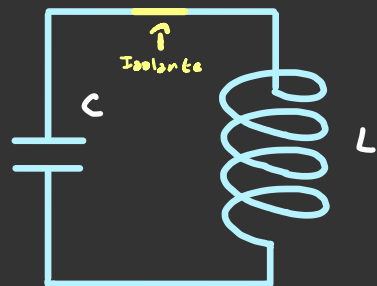
E' possibile aggiungere o rimuovere corrente facendo passare un campo alternato dentro all'induttore.

Questo sistema però ha il grosso problema che ha i livelli energetici equispaziati, quindi la stessa forzante che ci fa passare dal primo livello energetico al secondo, ci fa passare dal secondo al terzo, ecc...

Per ovviare a questo problema bisogna inserire una non linearità nel sistema.

Un modo per farlo è creare un pezzo di circuito dove la corrente è costretta a passare per effetto tunnel.

Questo può esser fatto mettendo dell'isolante in un pezzo del circuito al posto del superconduttore.



Dal punto di vista circuitale questo elemento viene detto "giunzione di Josephson" e viene raffigurata così.

Io non mi metterò a fare tutti i conti dell'effetto tunnel e mi limiterò a descrivere la giunzione come semplice elemento circuitale.

Il contributo all'Hamiltoniana dovuta alla giunzione è

$$H_J = -J \cos\left(2\pi \frac{\Phi}{\Phi_0}\right)$$

$$J = \frac{I_0 \Phi_0}{2\pi}$$

$$\Phi_0 = \frac{\hbar}{2e}$$

$$I_0 = \sqrt{\frac{2e}{h}} \frac{2\pi}{\hbar} \leftarrow \begin{array}{l} \text{Costante} \\ \uparrow \uparrow \\ \text{di Tunneling} \end{array}$$

Densità elettroniche
ai capi della giunzione

Per tutti gli effetti pratici possiamo trarre J come una costante e scordarci di cosa c'è fatto e da dove viene.

A questo punto i livelli energetici non sono più egualmente spaziati e si possono usare i primi due come qbit.